

一种面向工控系统的 PU 学习入侵检测方法

吕思才^{1,3}, 张 格², 张耀方^{1,3}, 刘红日^{1,3}, 王子博^{1,3}, 王佰玲^{1,3*}

¹ 计算机科学与技术学院 哈尔滨工业大学(威海) 威海 中国 264209

² 国家工业信息安全发展研究中心 北京 中国 100040

³ 网络空间安全研究院 哈尔滨工业大学 威海 中国 264209

摘要 工业控制系统与物理环境联系紧密, 受到攻击会直接造成经济损失, 人员伤亡等后果, 工业控制系统入侵检测可以提供有效的安全防护。工业控制系统中将入侵检测作为一个异常检测问题, 本文围绕 PU learning(Positive-unlabeled learning, PU 学习)进行工业控制系统入侵检测进行研究。首先针对工业控制系统中数据维度高的特点, 提出了一种特征重要度计算方法, 通过正例数据集和无标签数据集的分布差异度量特征重要度, 用于 PU 学习的特征选择; 其次提出了一种基于 OCSVM(One-Class SVM)的类先验估计算法, 该算法可以稳定且准确的估计出类先验概率, 为 PU 学习提供必要的先验知识; 最后采用了三个公开数据集进行实验, 在仅有一类标签数据的条件下, 通过 PU 学习发现待检测数据中的异常样本, 并与一些现有的模型进行对比, 验证了 PU 学习的有效性。

关键词 工业控制系统; 入侵检测; PU 学习; 类先验概率估计

中图分类号 TP393.0 DOI 号 10.19363/J.cnki.cn10-1380/tn.2021.07.05

A PU learning intrusion detection method for industrial control system

LV Sicai^{1,3}, ZHANG Ge², ZHANG Yaofang^{1,3}, LIU Hongri^{1,3}, WANG Zibo^{1,3}, WANG Bailong^{1,3*}

¹ School of Computer Science and Technology, Harbin Institute of Technology at Weihai, Weihai 264209, China

² China Industrial Control Systems Cyber Emergency Response Team, Beijing 100040, China

³ Research Institute of Cyberspace Security, Harbin Institute of Technology, Weihai 264209, China

Abstract Industrial control systems are closely related to the physical environment. Attacks will directly cause economic losses, casualties and other consequences. Intrusion detection system can provide effective security protection. In industrial control systems, intrusion detection is regarded as an anomaly detection problem. This paper focuses on the intrusion detection through PU learning (Positive-unlabeled learning). Firstly, due to the high dimensionality of data in industrial control systems, a feature importance calculation method is proposed. The feature importance is measured by the distribution difference between the positive data set and unlabeled data set, which is used for the feature selection of PU learning. Secondly, a class prior estimation algorithm based on OCSVM(One-Class SVM) is proposed. This algorithm can estimate class prior stably and accurately. It provides necessary prior knowledge for PU learning. Finally, three public data sets were used for experiments. Under the condition of only one type of label data, abnormal samples in the data to be detected were found through PU learning. Meanwhile, PU learning is compared with some existing models to verify the effectiveness of PU learning.

Key words industrial control system; intrusion detection; positive-unlabeled learning; class prior estimation

1 引言

工业控制系统(Industrial Control System)是用于工业生产的控制系统, 是国家基础设施的重要组成部分, 被广泛应用到水利、核电和能源等关键领域中, 作为国家基础设施的核心控制设备, 其安全关系国计民生^[1]。

随着工业控制系统的迅速发展, 在其被广泛应用的同时, 安全事件也开始频发。2010 年, “震网”(Stuxnet)病毒爆发, 直接导致伊朗核设施的离心机大面积损毁, 震网病毒爆发之后, 工控系统开始逐渐成为攻击者的主要攻击目标之一^[2], 2017 年, 全球爆发的 WannaCry 勒索病毒借助高危漏洞“永恒之蓝”(Eternal Blue)在世界范围内爆发, 影响多国能源、

通讯作者: 王佰玲, 博士, 教授, Email: wbl@hit.edu.cn。

本课题受国防基础科研计划(No. JCKY2019608B001)资助。

收稿日期: 2020-09-02; 修改日期: 2020-12-02; 定稿日期: 2021-06-24

交通、通信等重点行业^[3]; 2018 年 3 月, 美国计算机应急准备小组发布了一则安全通告 TA18-074A, 详细描述了俄罗斯黑客针对美国某发电厂的网络攻击事件。该攻击以收集情报为目的, 向计算机植入程序记录有关信息进行攻击, 对发电厂造成巨大损失^[4]。2019 年, 委内瑞拉最大的电力设施古里水电站计算机系统控制中枢遭受到网络攻击, 引发全国性大面积停电, 约 3000 万人口受到影响; 同年 7 月, 委内瑞拉古里水电站再次遭到攻击, 导致包括委内瑞拉首都加拉加斯在内的 16 个州发生大范围停电^[5]。正是由于工业控制系统是国家基础设施的重要组成部分, 因此针对工业控制系统的攻击通常会造成更严重的后果, 更巨大的经济损失。

针对工业控制系统受到的安全威胁, 使用入侵检测手段进行防护是一项重要手段。目前基于工业控制系统的入侵检测展开了多方面的研究, 通过结合机器学习模型实现对工业控制系统入侵的智能化检测。在多样的机器学习模型中, OCSVM 模型在训练数据上只需要一类数据, 这使得其可以发现未知的入侵, 因此成为工业控制系统入侵检测的常用方法。然而由于反例训练数据的缺失会使得训练的模型具有较高的 FPR(False Positive Rate, 假阳性率), 因此本文引入 PU 学习模型来进行入侵检测, 将正常流量作为正例标签数据训练模型, 保留模型对于未知入侵的检测能力的同时, 提升模型对于入侵的检测能力。而 PU 学习模型同时将一类标签数据和待检测的无标签数据用于模型的训练, 因此 PU 学习模型的分类性能往往高于异常检测模型。

本文的主要贡献可以概括如下:

(1) 针对工业控制系统数据维数高、关联性强的特点, 本文提出一种基于 PU 学习的特征重要度计算方法, 该方法可以基于正例标签数据和无标签数据计算出特征的重要度, 以用于特征选择。

(2) 在 PU 学习的类先验概率估计上, 本文分析了基于正例标签频率的类先验概率估计算法, 并通过 OCSVM 模型划分可信赖的正例子集, 改良了正例标签频率的计算方法, 减小了先验概率估计的误差。

(3) 基于工业控制系统攻击的隐蔽性特点, 将 PU 学习应用到工业控制系统入侵检测, 构建神经网络进行 PU 学习, 在仅有正常流量作为标签数据的情况下训练分类模型, 并通过公开数据集实验进行实验验证模型的有效性。

本文的结构如下: 第 2 节介绍工业控制系统入侵检测和 PU 学习的研究现状; 第 3 节为本文的主要

研究内容; 第 4 节通过实验验证提出的算法的有效性; 第 5 节对文章进行总结。

2 相关工作

2.1 工业控制系统概述

工控网络层次模型从上到下共分为 5 个层级, 依次为企业资源层、生产管理层、过程监控层、现场控制层和现场设备层, 不同层级的实时性要求不同。企业资源层主要包括 ERP 系统功能单元, 用于为企业决策层员工提供决策运行手段, 如图 1 所示。

工业控制最底层是现场设备层, 其包含一些应用在现场的设备, 如传感器, 监控器等一些执行设备单元, 用于对生产过程进行感知与操作。

过程监控层和现场控制层是用于监视和控制现场设备。其中过程监控层主要包含 SCADA 和 HMI, SCADA 可以对现场的运行设备进行监视和控制, 以实现数据采集、设备控制、测量、参数调节以及各类信号报警等各项功能; HMI 为人机界面, 用于系统和用户之间进行信息交互。现场控制层主要是 PLC, PLC 向上与 HMI 相连, 接收控制命令和查询请求, 向下与现场设备相连, 通过发送操作指令对现场设备进行控制。

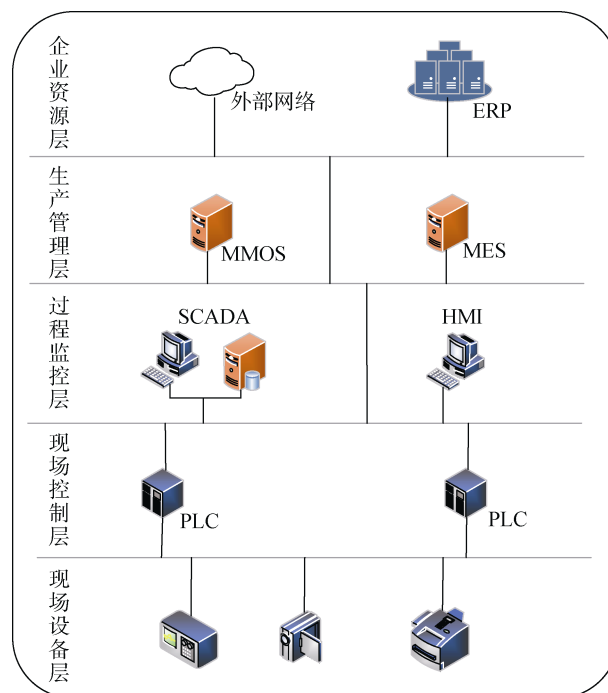


图 1 工业控制系统层次结构

Figure 1 Architecture of an Industrial Control System

生产管理层中包含 MES 和 MOMS, 用于对生产过程进行管理, 如制造数据管理、生产调度管理等。

最上层为企业资源层, 企业资源规划(ERP)系统管理核心业务流程, 如生产或产品计划, 物料管理和财务情况等。

2.2 工业控制系统入侵检测特点

工业控制系统的入侵检测与互联网的入侵检测存在显著差别, 由于工业控制系统的环境的特殊性, 其具有独特的特征^[6]:

(1) 高实时性。工业控制系统通常部署在电力、核能等领域中, 系统具有较高的实时性, 因此也要入侵检测具有较高的实时性。

(2) 工控设备资源受限。工业控制系统包含大量执行特定操作的传感器和执行器, 为降低成本, 其拥有的计算、存储资源通常十分有限。

(3) 设备难以更新, 重启。工业控制系统与物理世界联系紧密, 通常无法暂停工作, 否则会对整个工业控制系统、人员、环境造成严重的危害。

基于以上工业控制系统的特征, 实际上对入侵检测系统就提出的较高的要求:

(1) 实时性。工业控制系统对入侵检测具有更高的实时性要求, 要求入侵检测系统可以利用工业控制系统的实时信息进行入侵检测。

(2) 资源受限。工业控制系统资源受限的特点对入侵检测的方法进行了限制, 要求入侵检测模型具有较低的资源消耗。一些基于深度学习的算法的时间复杂度就相对较高, 特别是深度学习模型, 抛开训练时间不谈, 一些深层的神经网络模型, 其网络结构复杂参数数量非常大, 所需的训练和预测时间也较长。在资源首先的情况下, 一些复杂的深层神经网络模型难以适用于工业控制系统的入侵检测。因此在将神经网络模型运用到工业控制系统的入侵检测是, 需要着重考虑模型的复杂度, 在保证准确率的同时尽可能使神经网络结构简单。

(3) 设备难以更新和重启。这一特点对入侵检测模型性能进行了限制。首先由于设备难以更新模型需要具有较好的泛化性能, 即在训练数据上训练的模型运用到真实数据上同样需要具有较好的性能; 其次是指标的要求, 由于设备无法重启或暂停, 因此进行入侵检测需要具有较高的查准率, 即宁可漏报也不误报。

以上是工业控制系统的特点, 在进行入侵检测时, 通常需要基于其流量进行分析, 工业数据的特点是维数高、关联性强, 这会增加入侵检测模型的训练时间, 因此需要对工业数据特征提取, 降低后续数据建模和处理的复杂度^[15]。

基于工业控制系统高查准率, 低资源消耗的要

求, 以及其数据标签难获取的特点, 本文构建浅层神经网络进行 PU 学习, 用于工业控制系统入侵检测。同时针对工业控制系统数据维度高, 关联性强的特点, 提出一种基于 PU 学习的特征选择算法用于数据降维。

2.3 工业控制系统入侵检测相关工作

工业控制系统入侵检测按照检测的数据可以分为: 基于流量的检测, 基于设备状态的检测和基于协议的检测。在流量上, 通过工业控制系统真实流量构建特征, 如流持续时间, 端口等信息, 然后结合一些机器学习模型进行检测, 如 OCSVM^[7]; 在设备状态上, 魏战红等人提出一种基于 CUSUM 算法的入侵检测方法, 在该方法中首先以传感器获取的实际值和模型预测值之间的差值作为统计序列, 根据 3σ 原则设计偏移常数决定阈值, 最后在实验中验证了该方法可以有效检测偏差攻击和几何攻击; 在协议上, 一些工控协议是公开的, 可以依据这些协议的规范制定检测规则, 对特定工控协议进行检测, 如 Modbus 协议^[8-9]。

随着机器学习和人工智能的迅速发展, 其影响逐渐辐射到入侵检测领域, 大量机器学习模型被用于入侵检测, 按照适用的机器学习算法不同, 可以分为传统分类模型, 聚类模型^[10-11], 集成模型, 异常检测模型和神经网络四类。由于神经网络发展迅速, 且表现出了比传统机器学习模型更好的分类性能, 因此, 基于传统分类模型的入侵检测逐渐降温。集成模型和异常检测模型各有特点, 集成模型由多个基分类器集成分类性能较好, 且如随机森林^[12]; 异常检测如 OCSVM 的优点有: 1) 对于未知的入侵具有检测能力; 2) 仅需要背景流量作为训练数据。随着研究的深入, 自编码器等神经网络被用于无监督的异常检测^[13]。

入侵检测最常用的异常检测算法是 OCSVM, 李琳等人^[14]调研了 OCSVM 算法在工业控制系统入侵检测中的应用。在网络层和传输层上, OCSVM 算法被用于 SCADA 系统的 TCP/IP 流量异常检测; 在应用层上, 基于 ModbusTCP 正常通信流量训练 OCSVM 模型进行入侵检测。同时文中也指出了 OCSVM 异常检测存在三个主要问题: 工业控制系统的特征构建问题, 参数寻优问题和较高的误报率。

随着深度学习的推广, 大量深度学习模型被用于入侵检测, 包括: RNN(Recurrent Neural Network, 循环神经网络), CNN(Convolutional Neural Networks, 卷积神经网络), DBN (Deep Belief Network, 深度信念网络), AE(AutoEncoder Network, 自编码网络)。

深度学习模型相较于 OCSVM 等经典的异常检测模型, 在检测率上有了提升, 但是训练模型所需的时间也更长。

表 1 中总结了近几年的基于机器学习的工业控制系统入侵检测相关工作, 从相关工作分析, 工业控制系统的入侵检测研究具有如下趋势:

(1) 趋向于异常检测。工业控制系统的入侵检测更多的是被作为异常检测问题处理, 在模型选择上

偏好 OCSVM 等一分类模型或 AE 等无监督模型进行识别。

(2) 趋向于高精度。在进几年的研究工作中部分研究者趋向于通过一些参数优化算法如粒子群算法 (PSO)和引力搜索算法(GSA)优化模型参数, 使模型具有更好的分类性能。

(3) 趋向于实时高效。工业控制系统由于资源受限, 因此要求模型具有较小的计算成本, 从相关工

表 1 机器学习在工业控制系统入侵检测中的应用
Table 1 Summary of work related to intrusion detection

作者	时间	方法	优点	不足
Maglaras et al. ^[7]	2014	OCSVM	可以检测未知攻击, 训练过程对噪声具有较强的鲁棒性, 实时性好可在线检测	无法识别异常的类别
Kiss et al. ^[11]	2014	时序序列差分聚类	可在分布式系统下执行	k-mean 算法存在局限性
李琳等 ^[15]	2016	PCA-OCSVM	通过 PCA 降维, 减少了 OCSVM 的训练时间	无法识别异常的类别
Goh et al. ^[16]	2017	LSTM+CUSUM	误报率低	只在 P1 过程中识别异常
於帮兵等 ^[17]	2018	LSTM	多分类, 可以发现入侵的具体类别, 分类准确率达到 98.30%	对部分攻击类别的检测精度有待提升
Huda et al. ^[18]	2018	DBN+SVM	检测的准确率高	SVM 的分类性能较差, DBN 训练所需时间长
Kravchik et al. ^[19]	2018	1D-CNN, LSTM	误报率低	LSTM 训练时间长
Ahmed et al. ^[20]	2018	LSTM, AE	可拓展性强, 检测率高	训练时间长
石乐义等 ^[21]	2019	CNN-BiLSTM	CNN 可以提取数据的局部特征, LSTM 获取数据上下文信息, 模型的分类准确率最高达到 99.21%	模型训练的时间复杂度较高
陈万志等 ^[22]	2019	AMPSO+SVM, K-means++	对强势类通过 SVM 模型进行分类, 对弱势类进行 K-means++聚类, 各个攻击类型的检测精度都比较高	只能检测已知类型的攻击
Anton et al. ^[23]	2019	SVM+随机森林	时间复杂度低	查准率低
Khan et al. ^[24]	2019	Hybrid-Multilevel IDS	模型的准确率达到 97%, 可以检测零日攻击	查全率低
Kravchik et al. ^[25]	2019	1D-CNN, AE	F1-score 指标高	不稳定
Li D et al. ^[26]	2019	MAD-GAN	查准率, 召回率和 F1-score 指标高	FPR 较高
Li X et al. ^[13]	2020	AE-IDS	通过随机森林进行降维, 然后通过自编码器进行异常检测, 在实验中大部分数据集分类效果较好	在一些数据集上分类性能差, 模型的泛化性能不足
Priyanga S et al. ^[27]	2020	EPCA-HG-CNN	通过 EPCA 降维减小了计算量, 然后使用一维卷积进行分类, 模型查准率率达到 98.02%, 召回率达到 98.39%	无
张瑞等 ^[28]	2020	SVPSO+SVM	解决 PSO 算法在搜索后期容易陷入局部最优的问题, 参数优化之后的模型检测精度 98.75%, 误报率 1.22%	只能检测已知类型的攻击
张晓宇等 ^[29]	2020	IGSA+TWSVM	改进引力搜索算法, 提升了其收敛速度, 模型检测精度达到 98.2%, 误报率 0 仅为 45%	只能检测已知类型的攻击
赵国新等 ^[27]	2020	HAQPSO+ELM	通过 HAQPSO 算法优化输入权重和隐含层节点, 模型准确率达到 98.6%, 召回率达到 97.86%	部分攻击的检测准确率不高

作来看, 工业控制系统入侵检测更加注重低计算消耗的模型, 同时大多在训练模型前通过特征选择或特征提取的方法, 如 PCA, fisher 分值进行降维, 从而减少模型训练所用的时间和计算量。

2.4 PU 学习

PU 学习可以视为一种基于神经网络进行异常检测的方法, 其通过正例数据集和无标签数据集来估计二分类误差, 从而使 PU 学习模型可以达到接近二分类模型的性能。

由于 PU 学习需要通过正例数据集和无标签数据集训练模型, 为了有效的估计二分类误差, 无标签数据集在应用到 PU 学习之前需要对其正例和反例样本的混合比例进行估计^[31-32], 也被称为类先验概率估计(class prior estimation)。类先验概率估计主要方法是从 PU 数据集的分布着手, 由于无标签数据集中混合了正例和反例数据, 所以实际上无标签数据集的分布由正例数据分布和反例数据分布组合而成, 通过比较 PU 数据集的分布可以求出类先验概率^[33-35]。除此以外, 基于正例标签频率的类先验概率估计算法是目前最为先进的算法之一, Jessa Bekker 等人^[36]提出 Tlce 算法, 通过无标签数据集中划分可信赖的正例子集来估计正例标签频率, 这也是目前时间复杂度最低的算法。

2014 年, Plessis 等人^[37]首先对 PU 学习问题进行了理论分析, 将 PU 学习与二分类模型进行比较, 在已知类先验概率 π 的条件下估算出二分类样本的损失, 理论上其可以获得和二分类模型相同的决策面, 该模型被称为 uPU(unbiased Positive-unlabeled learning)。针对 uPU 模型损失函数需要满足对称条件, Plessis 等人^[38]继续展开研究, 给出了一种将不满足对称条件的损失函数应用于 uPU 中的方法, 并验证了非凸损失函数和凸损失函数具有相似的精度。2016 年, Plessis 等人^[39]进一步比较了 PU 学习模型与二分类模型, 分析了在一些情况下 PU 学习模型性能比二分类模型更佳的原因。

2017 年, Ryuichi Kiryo 等人^[40]针对 uPU 容易发生拟合的问题, 提出了 nnPU(Positive-unlabeled learning with Non-negative risk estimator)算法, 在 uPU 的基础上, 对其估计二分类损失的方法进行改进, 保证了估计的反例损失恒为正数, 从而避免了由于估计的损失为负数带来的问题, 并指出 nnPU 性能优于 uPU。最后, Jessa Bekker 等人^[41]对现有的 PU 学习进行了总结, 在文章中针对目前 PU 学习的七个主要问题进行了分析, 其中包括 PU 学习的假设, 评价指标, 主要模型和类先验概率估计等。

3 基于 PU 学习的入侵检测

工业控制系统的入侵检测问题被作为异常检测问题收到学者们的关注, 但是一些经典的异常检测算法如 OCSVM 算法, 具有较高的误报率, 分类性能同二分类模型相比具有较大差距。本文提出使用 PU 学习进行入侵检测, 该方法被证明具有接近二分类的分类性能, 同时在训练数据上同 OCSVM 模型一样只需要一类标签数据。

基于 PU 学习的入侵检测流程如图 2 所示, 在特征工程上, 需要通过正例标签数据和误标签数据对特征进行分析, 选择关键特征, 降低数据维度, 减小无关特征对模型分类性能的影响; 同时 PU 学习的类先验概率作为先验知识, 需要在进行特征工程的同时进行处理, 通过分析正例数据和误标签数据, 构建模型, 估计误标签数据集的类先验概率; 然后结合特征选择后的正例标签数据、无标签数据以及类先验概率, 训练 PU 学习模型, 最后输出模型和误标签数据集的分类标签。

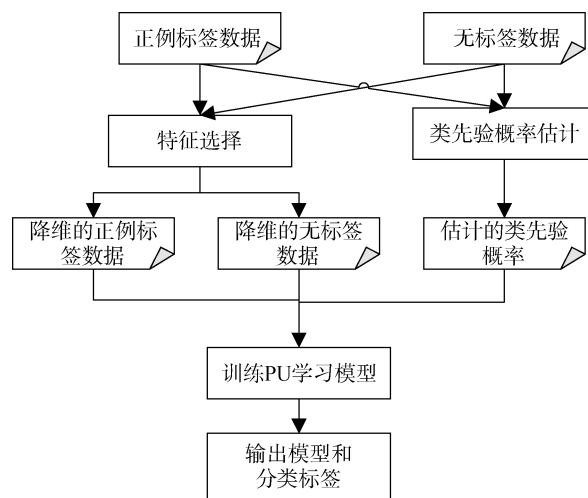


图 2 基于 PU 学习的入侵检测流程示意图

Figure 2 Schematic diagram of intrusion detection process based on PU learning

基于以上流程, 本部分主要的研究内容分为三部分: 首先, 探索一种基于 PU 学习的特征选择算法, 基于正例标签数据和无标签数据分析特征的重要度; 其次, 研究类先验概率估计算法, 提升类先验概率估计的准确度, 为 PU 学习提供重要先验知识; 最后, 基于特征选择之后的数据和估计的类先验概率, 通过 PU 学习训练分类模型。

在本文的研究中分别对异常检测存在的问题有针对性的进行了回答:

(1) 在特征工程上, 本文基于 PU 学习研究了特征重要度计算方法, 可以作为特征选择的度量标准对工业控制系统数据进行特征选择;

(2) 在工业控制系统资源限制和实时性问题上, 本文选用了浅层的神经网络, 其所需的存储资源和计算资源都比较少, 符合工业控制系统需求;

(3) 在误报率上, PU 学习已经被验证具有接近二分类模型的分性能, 相较于无监督的异常检测模型查准率较高。

3.1 PU 学习的特征重要度

在工业控制系统中, 数据具有维数高、关联性强的特点。当数据维度很高时, 许多机器学习问题会变

得困难, 这种现象被称为维数灾难。特征选择是特征工程的重要内容, 其原理是在所有特征抽取关键特征, 从而达到降维的目的。特征选择的方法可以分为两类: 封装式和过滤式。其中封装式的特征选择通常是择定一个基模型进行多轮训练, 根据训练所得模型的分性能逐渐筛除冗余特征; 过滤式的特征选择是通过计算特征的重要度, 设定阈值筛除无关特征, 并进一步通过相关性筛除冗余特征。

在 PU 学习中, 由于只有一类带标签的样本, 因此, 封装式的模型难以评估模型性能, 因此在本文中采用过滤式特征选择方法, 其中常用的特征重要度计算方法如表 1 所示。

表 2 二分类的特征重要度计算方法

Table 2 Method for calculating feature importance of binary classification

名称	计算公式
相关系数	$r(x, y) = \frac{\text{Cov}(x, y)}{\sqrt{\text{Var}(x)\text{Var}(y)}}$
互信息/信息增益	$I(X; Y) = \sum_{x \in X} \sum_{y \in Y} p(x, y) \log\left(\frac{p(x, y)}{p(x)p(y)}\right)$
Symmetric uncertainty	$\text{SU}(X, Y) = \frac{2I(X; Y)}{H(X) + H(Y)}$
信息距离	$d(X, Y) = \frac{H(X Y) + H(Y X)}{2}$

过滤式特征选择方法的重要度计算方法通过评估特征与标签的相关性来计算, 认为和目标类别存在明显相关关系特征是关键特征。然而在在 PU 学习中, 只有一类标签样本, 无法直接使用二分类模型中的特征重要度计算方法, 因此需要寻找一种适合于 PU 学习场景的特征重要度计算方法。

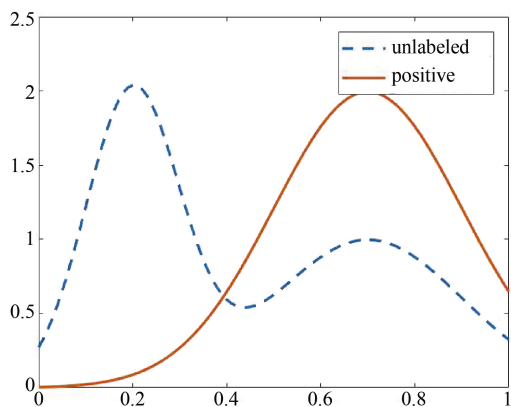


图 3 PU 学习的关键特征的分布

Figure 3 Key feature distribution of PU learning

以此二分类的重要度计算思想为启发, 本文给

出一种 PU 学习的关键特征识别方法: 考虑到无标签数据集是正例样本和反例样本混合而得, 无标签数据集中特征的属性值包含了正例取值和反例取值两部分, 如果该特征与类标签强相关, 那么无标签数据集中该特征的属性值在分布上应该呈现出明显的双峰或多峰特征, 且不同类样本特征的分布差异较大, 如图 3 所示; 当特征与类标签弱相关时, 则正例与反例样本的特征分布相似。

特征在正例数据集和无标签数据集上的分布差异即可作为特征的重要度。KL 散度可以描述两个分布之间的差异, 其离散形式如公式(1)所示。

$$\text{KL}(P\|U) = \sum P(x) \log\left(\frac{P(x)}{U(x)}\right) \quad (1)$$

KL 散度在计算两个特征分布差异时, 需要特征属性值的概率。首先考虑到特征的属性值取值范围没有限定, 因此在计算之前需要先进行最大最小值标准化, 目的是为了将标准化之后的属性值限制在 [0,1] 区间内; 其次, 特征的属性值存在连续和离散两种形式, 为了统一处理, 在算法中将 [0,1] 区间进行等分, 通过每个小区域中样本的频率作为概率计算 KL 散度。

算法 1. 基于 KL 散度的特征重要度算法

输入: 正例标签数据集 P , 无标签数据集 U , 特征重要度阈值 $threshold$

输出: 特征选择之后的正例数据集 P' 和无标签数据 U'

```

1: Initialize feature importance vector  $\omega$ ;
2: Load data set  $P$  and  $U$ ;
3: Data normalization by MinMaxScaler;
4: FOR  $i=1$  TO  $M$ , DO
5: Divide the  $[0,1]$  interval into 100 equal parts,
and take the frequency as probability;
6: Calculate  $i$ -th feature's importance through KL
divergence:  $\omega[i]=KL_i(P||U)$ ;
7: END FOR
8: RETURN  $\omega$ 

```

时间复杂度分析: 算法中第 3 步进行数据标准化, 采用的数据标准化方法为最大最小值标准化, 该步的时间复杂度为 $O(mn)$; 第 4~6 步为计算特征重要度, 通过将 $[0,1]$ 区间等分, 以每个小区间中的频数作为概率计算 KL 散度, 该部分的时间复杂度为 $O(mn)$ 。因此算法的总时间复杂度为 $O(mn)$ 。

通过 KL 散度可以在仅有正例标签数据的场景下给出特征重要度的估计值, 区分关键特征和无关特征, 在不考虑冗余特征的情况下, 可以基于特征重要度对特征进行过滤, 如设定特征重要度阈值或指定选择的特征数。

3.2 PU 学习的类先验概率估计

在工业控制系统中, 大量入侵数据的采集是十分困难的, 但是系统正常运行的流量和状态码的采集相对简单, 以正常状态的数据作为正例标签数据, 进行 PU 学习是符合工业控制系统实际应用场景的, 而在 PU 学习中, 分析待检测的数据, 获得类先验概率是十分重要的。PU 学习的类先验概率被定义为 $\pi = p(y=1)$, 当样本的采集满足 SCAR(select at completely random)假设时, 类先验概率即为无标签数据集中正例样本所占的比例。

定义 1(SCAR 假设) 样本的采集与样本的属性无关, 是完全随机的, 即:

$$p(s=1|y) = p(s=1|x, y) \quad (2)$$

按照正例数据的来源不同可以分为两类: One Sample(OS)和 Two Sample(TS)。OS 在采集数据时, 仅进行一次随机采样, 即在真实数据中随机采集一部分数据, 在采集的数据中挖掘出一些正例数据加上标签, 未标签的数据作为无标签数据; TS 在采集数据时, 需要进行两次采样, 即首先随机采集一部

分正例标签数据, 无标签数据集在真实数据中通过随机抽样进行获得。

由于正例数据是通过在无标签数据集中随机选择的, 因此在这种场景下产生了一个中间变量 c , 该变量被称为正例标签频率(label frequency), 其定义为 $c = p(s=1|y=1)$, 其中 $s=1$ 表示样本被选中的样本。标签频率和类先验概率的关系可以通过公式(3)表示。

$$p(y=1|x) = \frac{1}{c} p(s=1|x) \quad (3)$$

因此可以通过估计正例标签频率 c , 来估算类先验概率。特别地, 在 TS 场景下, 可以将正例数据和无标签数据混合, 将正例样本视为随机抽取并加上标签的正例样本, 也可进行正例标签频率估计。

文献[36]中通过使用决策树来提升估计的正例标签频率的下界, 从而得到正例标签频率的估计值, 该算法被称为 Tlce 算法。本文通过 OCSVM 算法对 Tlce 算法进行改进, 提出通过 OCSVM 算法来划分可信赖正例子集, 进而估计正例标签频率。

OCSVM 算法是一种经典的异常检测算法, 当其使用 RBF 核函数时, 性能和 SVDD 类似, 可以认为 OCSVM 算法在特征空间中划分找到一个超球体, 将正例样本包含在该超球体内, 并且使得该超球体半径最小。其问题描述如公式所示。

$$\begin{cases} \min : \frac{1}{2} w^T w - \rho + \frac{1}{vN} \sum_{i=1}^N \xi_i \\ \text{s.t.} : wx \geq \rho - \xi_i, \xi_i \geq 0, |w|=1 \end{cases} \quad (4)$$

公式中的 v 是异常点比例的上界, 因此可以通过设置参数来限制正例数据集中被划分为异常点的样本数量, 从而模型划分的正例子集样本量较少导致的估计偏差。同时, 当设置异常点比例上界较大时, 此时的超球体半径较小, 模型划分为正例的样本可以作为可信赖的正例样本。

在正例标签频率的估计上, 估计值可以通过切比雪夫不等式给出。通过切比雪夫不等式, 正例子集 S 中标签样本的数量 L_S 满足公式(5)。

$$P(|L_S - \mu| \geq \varepsilon) \leq \frac{\sigma^2}{\varepsilon^2} \quad (5)$$

其中 L_S 服从二项分布, 且随机变量 L_S 的期望为 $E(L) = cN_S$, 方差为 $D(L) = c(1-c)N_S$, N_S 为正例子集 S 的样本总数。代入公式(5)得到:

$$P(|L_S - cN_S| \geq \varepsilon) \leq \frac{c(1-c)N_S}{\varepsilon^2} \quad (6)$$

令 $\delta = \frac{c(1-c)N_S}{\varepsilon^2}$, 则公式(6)等价于:

$$P\left(|L_S - cN_S| \leq \sqrt{\frac{c(1-c)N_S}{\delta}}\right) \leq \delta \quad (7)$$

通过公式(7), 可以以概率 δ 对正例标签频率 c 的上界和下界进行约束, 如公式(8)所示。

$$\begin{cases} P\left(c \leq \frac{L_S}{N_S} + \sqrt{\frac{c(1-c)}{\delta N_S}}\right) \leq \delta \\ P\left(c \geq \frac{L_S}{N_S} - \sqrt{\frac{c(1-c)}{\delta N_S}}\right) \leq \delta \end{cases} \quad (8)$$

在 Tlce 算法中, 由于发现可信赖正例子集的算法是决策树, 随着决策树划分的进行, 叶子节点的数量减少, 会存在一些叶子节点脱离真实样本混合比例, 故在算法中选择类先验概率估计的下界进行约束。然而, 通过 OCSVM 算法划分可信赖的正例子集, 可以对正例子集样本数进行约束, 因此可以取区间中点作为对正例标签频率 c 的估计值, 进而可以计算出类先验概率, 称该类先验概率估计算法为 OCSVM-cE。

OCSVM 相较于 Tlce 算法, 首先将寻找正例子集的算法由决策树转换成 OCSVM, 这样做一方面可以通过 OCSVM 模型的参数对可信赖正例子集的样本数进行限制, 避免由于可信赖正例子集样本过少导致的估计偏差, 另一方面在训练模型所使用的数据上进行了优化, Tlce 在构建决策树时需要同时使用正例数据集和无标签数据集, 这也导致在通过 Tlce 算法估计类先验概率时, 需要根据不同的无标签数据集重复构建决策树, 在实际应用中开销较大。然而 OCSVM-cE 算法在构建模型时仅需要正例数据集, 训练的模型可以在不同的无标签数据集中使用, 因此在训练好模型之后, OCSVM-cE 算法的时间复杂度降至 $O(n)$ 。

算法 2.OCSVM-cE 算法

输入: 正例标签数据集 P , 无标签数据集 U , OCSVM 的误差上界 δ

输出: 类先验概率 π

1: Load dataset P and U ;

2: $N_P = \text{len}(P)$, $N_U = \text{len}(U)$;

3: Data normalization;

4: Set upper bound on the fraction of training errors as δ , train an OCSVM model;

5: Merge P and U as A , predict A through OCSVM model;

6: Count the number of samples identified as positive examples in P and U as n_P and n_U ;

7: Calculate $c = \frac{n_P}{n_P + n_U}$;

8: RETURN $\pi = \frac{N_P(n_P + n_U)}{n_P(N_P + N_U)}$

通过算法 2 可以在对待检测的工控数据进行分析, 估计其类先验概率, 为 PU 学习提供重要的先验知识, 同时避免了采集工业控制系统入侵检测数据, 极大的减少了人工成本。

3.3 基于神经网络的 PU 学习

在工业控制系统中, 入侵具有较高的隐蔽性且更新较快, 从“Stuxnet”到“Duqu”, 再到“Flame”火焰病毒, 传统的基于分类的入侵检测技术难以应对其更新, 而将入侵检测作为异常检测处理, 虽然无法识别入侵的种类, 但是可以在面对未知入侵时也具有示警的能力。本文采用 PU 学习方法进行入侵检测, 将正常流量作为标签数据, 与待检测的数据同时参与模型的训练, 同异常检测算法一样, PU 学习方法具有检测未知攻击的能力, 同时其被证明了训练的模型具有接近二分类模型的准确率。

3.3.1 数据不平衡下的 PU 学习

PU 学习中将无标签数据集视为带有噪声标签样本的反例数据集, 进而通过类先验概率估计二分类损失。二分类损失的期望计算如公式(9)所示:

$$\bar{R}(f) = \pi E_P(l(f(x), 1)) + (1 - \pi) E_N(l(f(x), -1)) \quad (9)$$

然而在 PU 学习中, 没有带标签的反例样本, 因此无法直接计算反例样本的损失, nnPU 中提出通过无标签数据集去估计反例样本损失, 这也是 nnPU 的核心思想。无标签数据集混合了正例和反例样本, 将其视为含有错误标签样本的反例数据集, 那么其损失的期望可以表述如下:

$$E_U(l(f(x), -1)) = \pi E_{U_P}(l(f(x), -1)) + (1 - \pi) E_N(l(f(x), -1)) \quad (10)$$

其中 π 为无标签数据集集中的类先验概率, l 为损失函数, U_P 为无标签数据集集中的正例样本集合。在公式(10)中, $E_U(l(f(x), -1))$ 可以直接计算, $E_N(l(f(x), -1))$ 是待估计的反例样本损失, 因而问题转换成计算出 $E_{U_P}(l(f(x), -1))$ 。

在 TS 场景下正例标签数据集和无标签数据集均通过随机采样获得, 故正例标签数据集损失的期望和无标签数据集中正例样本损失的期望近似, 有:

$$E_P(l(f(x), -1)) = E_{U_P}(l(f(x), -1)) \quad (11)$$

联立公式(10)和公式(11)可以得到估计二分类误差的方法, 如公式(12)所示。

$$\begin{aligned}\bar{R}_{PU}(f) = & \pi E_P(l(f(x), 1)) \\ & + \max(0, E_U(l(f(x), -1)) \\ & - \pi E_P(l(f(x), -1)))\end{aligned}\quad (12)$$

公式被称为 Non-negative risk estimator^[40], 其中, $\max(0, E_U(l(f(x), -1)) - \pi E_P(l(f(x), -1)))$ 是估计的反例样本损失, $E_P(l(f(x), 1))$ 是正例样本损失的期望。

在进行入侵检测时, 将正常流量作为正例样本, 这样在待检测的无标签数据集中正例样本的比例通常远大于反例, 存在数据不平衡问题。

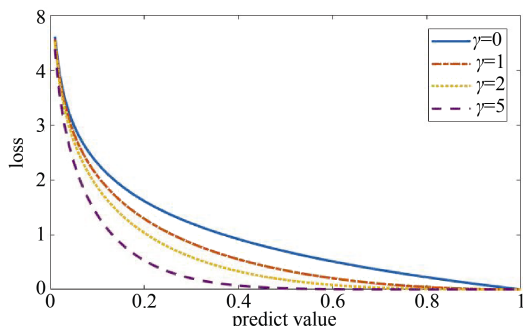


图 4 $\gamma=1$ 时 focal loss 函数图像

Figure 4 Image of focal loss function when $\gamma=1$

为了应对由于类先验概率较小导致的数据不平衡问题, PU 学习的损失函数设定为 focal loss, 如图 2 所示, focal loss 可以写成:

$$fl(t, y) = \begin{cases} -\alpha(1-t)^\gamma \log(t), & y=1 \\ -\alpha t^\gamma \log(1-t), & y=0 \end{cases}\quad (13)$$

在模型的训练过程中, 正例样本识别错误时会被作为难分样本, 此时 $(f(x_i))^\gamma$ 和 $(1-f(x_i))^\gamma$ 存在数十倍甚至数百倍的差距, 可以增大难分样本的权重, 提升 nnPU 在数据不平衡下的分类性能。修正之后的 Non-negative risk estimator 如公式(14)所示。

$$\begin{aligned}\bar{R}(fl) = & \pi E_P(fl(f(x), 1)) \\ & + \max(0, E_U(fl(f(x), 0)) \\ & - \pi E_P(fl(f(x), 0)))\end{aligned}\quad (14)$$

PU 学习的算法伪代码如算法 3 所示。

算法 3. PU 学习算法

输入: 正例标签数据集 P , 无标签数据集 U , $epochs$, 学习率 γ , $batch_size$

输出: 无标签数据集中样本的预测值

1: Load dataset P and U , Data preprocessing and data normalization;

2: define a neural network;

3: Weight initialization;

4: FOR $k=1$ TO $epochs$, DO

5: Forward propagation;

6: Calculate risk estimator $\bar{R}(fl)$;

7: Update weight: $w_{ij}^{k+1} = w_{ij}^k - \gamma \frac{\partial \bar{R}(fl)}{\partial w_{ij}}$

8: IF Satisfied early stopping conditions THEN

9: Break;

10: END IF;

11: END FOR

12: Predict U through the trained model;

13: RETURN the labels of U

通过以上分析可知, PU 学习相较于二分类模型, 在误差计算上进行调整, 通过 risk estimator 估计二分类误差, 以估计的二分类的误差进行反向传播, 调整神经网络模型的参数。

3.3.2 神经网络设置

使用机器学习方法进行工业控制系统入侵检测的过程中, 需要关注工业控制系统对模型的实时性要求, 要求模型对输入的数据可以快速做出判定, 因此在使用的神经网络结构需要尽可能简化, 一方面简化的模型可以减少检测的响应时间, 提高模型的实时性; 另一方面可以降低对计算资源的需求, 更加符合工业控制系统的应用场景。

PU 学习是一种依托于神经网络的学习算法, 在仅有一类标签数据的场景下, 通过估计分类误差来训练神经网络模型。神经网络结构的不同, 同样也会对模型性能产生影响, 在本节中我们探讨两种不同网络结构的 PU 学习模型。

第一种是全连接的神经网络 DNN。DNN 是具有多个隐藏层的神经网络, 理论上 DNN 可以拟合任意函数, 文献[42]中探讨了不同隐藏层数量的 DNN 在入侵检测中的分类性能, 且其结果显示在进行二分类时, 含 3 个隐藏层的 DNN 模型就可以拥有比较高的分类性能, 并且随着层数的增加, 分类性能没有明显提升。因此本文中选用含 3 个隐藏层 DNN 模型, 三个隐藏的节点数分别为 256、64、16。模型的网络结构设置如表 3 所示。

表 3 DNN 网络设置

Table 3 Configuration of DNN model

序号	类型	输出	节点	激活函数
1	全连接层	(None, 256)	256	ReLU
2	BatchNormalization	-	-	-
3	全连接层	(None, 64)	64	ReLU
4	BatchNormalization	-	-	-
5	全连接层	(None, 16)	16	ReLU
6	BatchNormalization	-	-	-
7	全连接层	(None, 1)	1	Sigmoid

PU 学习通过 DNN 完成一个二分类任务, 将所有待检测的样本划分为正常流量和入侵流量, DNN 的输出通过 Sigmoid 函数映射到 $[0,1]$ 区间内, 以完成二分类任务。

DNN 中在两个全连接层之间进行批量标准化 (Batch Normalization, BN), 即将每个隐层神经元的输出进行标准化, 使得非线性变换函数的输入值落入对输入比较敏感的区域。使用 BN 可以加速神经网络的收敛, 此外 BN 允许模型使用更高的学习率, 并降低模型对于网络参数初始化的要求, 其还可以充当调节器, 在某些情况下可以消除对 Dropout 的需求^[42]。

DNN 中的激活函数选用的是 ReLu 函数, (1)可以加速网络训练。相比于 sigmoid、tanh, 其求导更加迅速。(2)防止梯度消失。当数值过大或者过小, sigmoid、tanh 的导数接近于 0, ReLu 为非饱和激活函数不存在这种现象。(3)使网络具有稀疏性。

权重更新算法选用 Adam 算法, Adam 是一种自适应学习率的优化算法, 具有收敛快, 内存占用少的优点。

第二种是卷积神经网络 CNN。在本文中, 采用了一种简单的 CNN 网络结构 Lenet-5 结构。考虑到 Lenet-5 是处理二维图像的网络, 要求输入为 32×32 , 而工业控制系统的数据通常为一维向量, 因此对网络结构进行调整, 替换 Lenet-5 中的二维卷积为一维卷积, 此时输入大小为 32×1 。因而在进行训练模型前需要进行特征选择, 降维到 32 维。网络中第一层使用 5×1 的卷积, 通过第一层后得到 6 个大小为 28×1 的特征图, 然后通过大小为 2 的最大池化采样, 变化成 14×1 大小, 第二个卷积层使用 5×1 的卷积, 输出 16 个大小为 10×1 的特征图, 再通过大小为 2 的最大池化采样, 变化成 5×1 , 最后将所有图像铺平输入到一个全连接层中, 全连接层有两层, 第一层神经元数量为 120, 第二层神经元数量为 84, 最后按照分类的类别, 通过 softmax 函数进行输出。基于 Lenet-5 的工业控制系统模型结构如图 5 所示。其中输入 $(?, 32, 1)$ 中的 ? 代表 batch_size, 激活函数采用 Relu 函数。

至此, 可以得到基于 PU 学习的模型结构。基于 PU 学习的入侵检测的模型离线训练步骤如下:

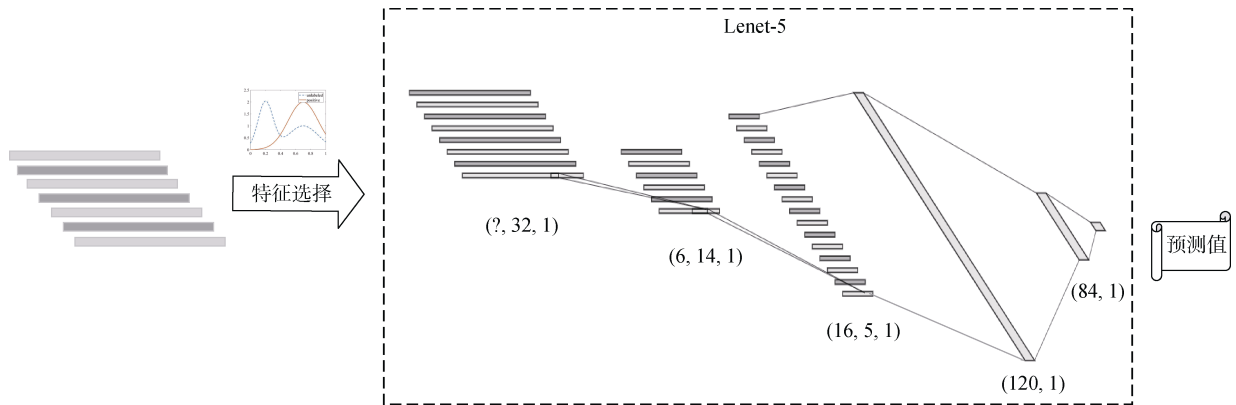


图 5 基于 CNN 的 PU 学习入侵检测模型结构

Figure 5 PU learning for intrusion detection architecture based on CNN

Step 1. 读取数据, 包括正例标签数据和待检测的无标签数据, 进行数据预处理;

Step 2. 通过 OCSVM-cE 算法估计无标签数据集的类先验概率, 保存 OCSVM 模型;

Step 3. 通过 KL 散度计算特征重要度, 设定阈值 th 或选用的特征数 K , 按照特征重要度进行特征选择, 得到新的训练数据集;

Step 4. 初始化一个深度神经网络, 使用特征选择后的新训练数据集训练 PU 学习模型, 训练的

过程如算法 3 所示;

Step 5. 导出训练好的神经网络, 返回无标签数据集的预测值。

4 实验结果与分析

4.1 数据介绍与分析

实验中使用了三个入侵检测公开数据集: NSL-KDD^①[43], UNSW-NB15^②[44]和 WADI^③[45]。其中 NSL-KDD 和 UNSW-NB15 数据集中的数据是基于互

①下载地址: <https://www.unb.ca/cic/datasets/nsl.html>.

②下载地址: <https://www.unsw.adfa.edu.au/unsw-canberra-cyber/cybersecurity/ADFA-NB15-Datasets/>.

③下载地址: https://itrust.sutd.edu.sg/itrust-labs_datasets/

联网流量提取的特征, 包含流的基本特征(如传输层协议类型、端口等)、流的时间信息、连接内容特征等, 这些特征也可以作为工业控制系统流量进行提取。同时, 为了进一步验证模型在工控场景下的有效性, 引入了 WADI 数据集, 一方面在数据上应用工控试验台提供的工控数据; 另一方面, 仿真工控数据不平衡特点。

在攻击类型上, NSL-KDD 数据集是在 KDDCUP 99 数据集上进行了改进, 去除了一些冗余数据, 数据集中包含了正常流量和 22 类攻击流量, 攻击流量主要有: 拒绝服务攻击 DOS, 监视和探测(Probing), 远程机器非法访问(R2L)和普通用户的越权访问(U2R)四大类。UNSW_NB15 数据集是由澳大利亚网络安全中心生成的入侵检测数据集, 包括 DOS、Backdoors 等在内的 9 种攻击的样本。WADI 数据集是在配属试验台上收集的, 实验台由许多向用户水箱供水的大型水箱组成, WADI 数据集种包含 16 种攻击, 其攻击目标是停止向用户水箱供水。

在实验中, UNSW-NB15 数据集, 采用的官网提供的训练和测试数据集, 合共 257673 个样本。WADI 数据集采用的是 2019 年 10 月的带标签的数据。各数据集的样本量如表 4 所示。

表 4 实验数据集信息

Table 4 Information of experiment data set

数据集	异常样本数	正常样本数	维数
NSL-KDD	83206	90503	41
UNSW-NB15	164673	93000	39
WADI	9977	162824	127

4.2 数据预处理

训练和测试数据集划分上, 基于样本的真实标签, 在正例数据中随机抽取指定数量的正例样本作为训练集, 剩下的数据作为测试集。数据处理上, 针对 NSL-KDD 存在的字符串数据, 如协议类型和服务, 需要进行独热编码将字符串转换成一个向量, 编码之后的 NSL-KDD 数据集维数从 41 维提升到 122 维。UNSW-NB15 和 WADI 数据集中的数据不存在空值和字符串, 因此可以直接使用。

本实验中采用的设备: 处理器为 Intel core i7 8750H, 操作系统为 64 位 Windows 10 家庭中文版, 硬盘为西数 SN720, 内存 16 G。

4.3 评价指标

训练好模型之后, 通过模型对待预测的数据集进行分类, 基于模型的判定结果, 可以建立如表 5 的混淆矩阵:

表 5 混淆矩阵

Table 5 Confusion matrix

	正例	反例
正例	TP	FN
反例	FP	TN

如表 2~5 所示, 行表示是数据的真实类别, 列表示模型的预测类别。在入侵检测中关注的是模型对于入侵样本的识别能力, 因此使用入侵样本的查准率和召回率作为评价指标, 查准率如公式所示, 查准率描述的是模型预测为正例的样本中, 真实标签为正例的比例, 如公式(15)所示。

$$\text{precision} = \frac{TP}{TP+FP} \quad (15)$$

召回率如公式(16)所示, 召回率描述的是模型将所有真实类别为正例的样本识别为正例的比例。

$$\text{recall} = \frac{TP}{TP+FN} \quad (16)$$

F1-score 也常被用于作为评价指标, F1-score 是查准率和召回率的调和平均值, 如公式(17)所示。

$$F1 = \frac{2}{\frac{1}{\text{precision}} + \frac{1}{\text{recall}}} = \frac{2 \times \text{precision} \times \text{recall}}{\text{precision} + \text{recall}} \quad (17)$$

除了以上指标, 在入侵检测场景中, 由于面对的数据量较大, 因此, 模型训练和预测所用的时间也是衡量模型性能的一个重要指标。

4.4 实验结果分析

(1) 特征重要度的有效性分析和时间效率

本实验中, 首先在二分类场景下通过随机森林计算各个特征的重要度, 并将其与基于 KL 散度计算的特征重要度进行对比, 验证使用 KL 散度计算的特征权重的重要性。

实验中, 在所有样本中随机抽取 2000 个正例样本作为正例标签数据集, 再抽取 2000 个正例样本和 4000 个反例样本混合作为无标签数据集, 余下的所有样本作为测试集。图 6 和图 7 分别展示了 KL-OCSVM 和 KDE-OCSVM 算法在 NSL-KDD 数据集和 UNSW-NB15 数据集中的实验结果。

进一步地, 计算两种算法所得特征重要度的相关性并进行相关性检验。通过计算, 在 UNSW-NB15 数据集下, 两种算法的特征重要度在归一化之后的相关系数均值为 0.72, 检验的 P 值为 4.29×10^{-7} , NSL-KDD 数据集上的相关系数为 0.9364, 检验的 P 值为 1.15×10^{-56} 。以显著性水平为 0.05, 可以认定通过 KL 散度计算出的特征重要性和在二分类情况下

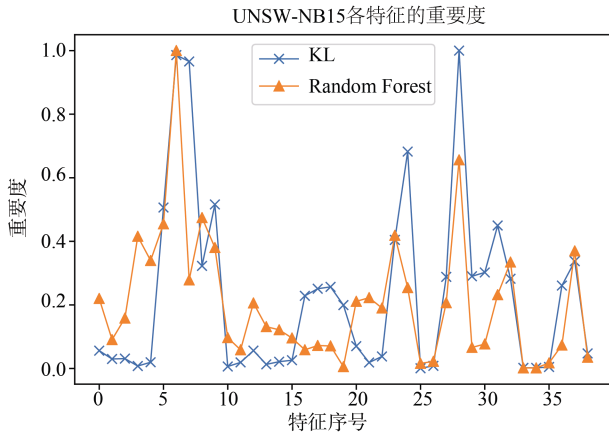


图 6 UNSW-NB15 特征重要度

Figure 6 Feature importance on UNSW-NB15

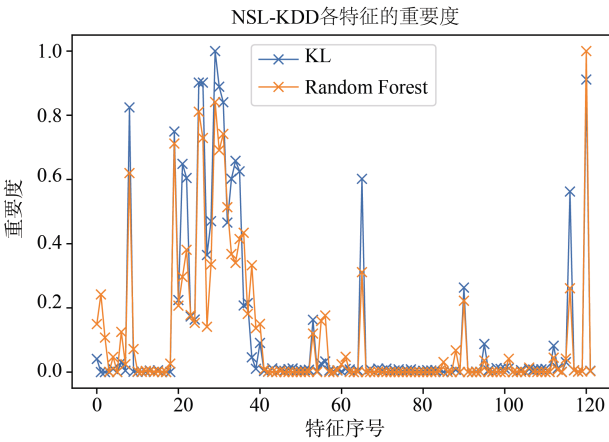


图 7 NSL-KDD 特征重要度

Figure 7 Feature importance on NSL-KDD

的特征重要性存在显著的相关关系, 即通过 KL 散度计算的特征重要度是有效的。

(2) 类先验概率估计

为了验证本文提出的 OCSVM-cE 算法的有效性, 将其与以下类先验概率算法进行比较:

- KM1/KM2 算法。该算法由 Ramaswamy 等人^[31]在 2016 年提出, 该算法通过计算正例和反例数据集的分布嵌入到核空间中, 通过求解一个二次规划问题即可解得类先验概率, 该算法是目前估计准确率较高的算法。

- TlcE 算法。该算法由 Jessa Bekker^[36]在 2019 年提出, 该算法基于决策树对所有样本进行划分, 通过子集提升正例样本标签频率下界, 得到正例样本标签频率的估计值, 进而计算出类先验概率, 该算法是目前类先验概率估计时间复杂度最低的算法。

- OCSVM-cE 算法。本文中提出的算法, 训练 OCSVM 模型寻找无标签数据集的可信赖正例子集, 通过可信赖正例子集估计正例样本标签频率, 进而

计算出类先验概率。

类先验概率估计问题中, 核心的评价指标是估计的准确率, 即估计值和真实值的误差。此外, 算法的时间复杂度也是一项重要的评价指标。

基于以上评价指标设计如下两个实验进行验证:

1) 验证类先验概率估计的准确度, 在实验中以不同的类先验概率构造无标签数据集, 并通过四种不同的基线算法估计构造的无标签数据集的类先验概率, 分析不同算法估计值与真实值的误差; 2) 验证算法的时间复杂度。在该实验中首先比较同样样本量下各算法进行类先验概率估计所需的时间, 然后在不同样本量下估计类先验概率时间变化趋势。

首先是类先验概率估计的准确率。实验中, 设置正例标签数据集样本量为 1000, 无标签数据集中反例样本为 2000, 分别构造类先验概率为: 0.1, 0.2, 0.3, 0.4, 0.5 的无标签数据集。分别使用基线算法对构造的数据集进行类先验概率估计。

实验结果如图 8 和图 9 所示。图中横坐标为真实类先验概率, 纵坐标为估计值和预测值误差的绝

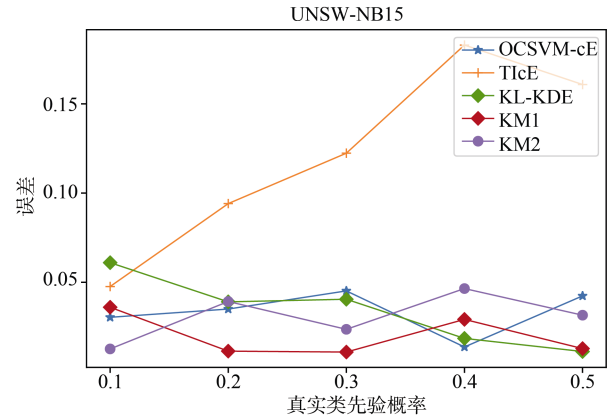


图 8 UNSW-NB15 类先验概率误差

Figure 8 Class prior estimation error of UNSW-NB15

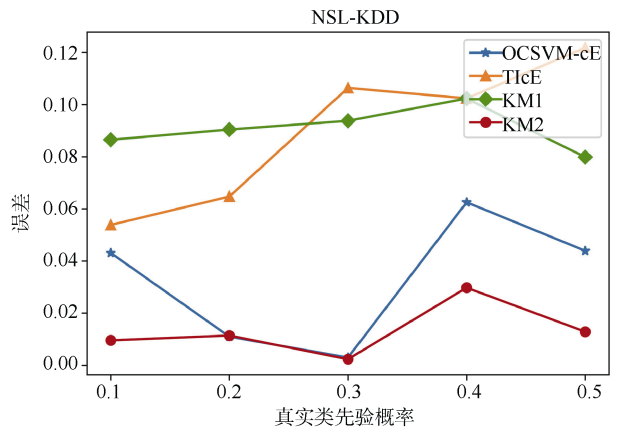


图 9 NSL-KDD 类先验概率误差

Figure 9 Class prior estimation error of NSL-KDD

对值。实验结果显示, OCSVM-cE 算法在两个数据集上都能保持较高的预测准确度, 误差和 KM2 算法接近且维持在 0.05 以下, 算法估计的稳定性较好。

在实验过程中, TlcE 算法存在较大的正误差, 这是由于 TlcE 算法通过求标签频率的下界去估计真实标签频率, 这将导致估计的标签频率比真实值低, 因此估计的类先验概率比真实值大, 在 OCSVM-cE 算法中, 通过 OCSVM 算法寻找可信赖的正例子集, 避免使用下界, 提升了估计的准确率。

为了进一步检验 OCSVM-cE 算法估计的稳定性, 设置正例标签数据集样本数为 2000, 在 $[0.1, 0.9]$ 区间内随机取值作为类先验概率构造无标签数据集, 重复进行 100 次实验, 计算类先验概率估计值和真实值的误差。

图 10 中展示了 100 次重复实验的箱线图, 可以发现 OCSVM-cE 算法在 KDD 和 UNSW-NB15 数据集上的预计效果比 WADI 数据集上更好, 估计的误差上四分数小于 0.05, 而 WADI 数据集上估计的误差的下四分位数为 0.0407, 中位数为 0.0672, 上四分位数为 0.0884, 仅存在两个异常点, 因此 WADI 的估计值比较稳定, 且误差集中在 $[0.05, 0.1]$ 区间内, 综合三个数据集的估计结果, OCSVM-cE 是一种稳定的类先验概率估计算法。

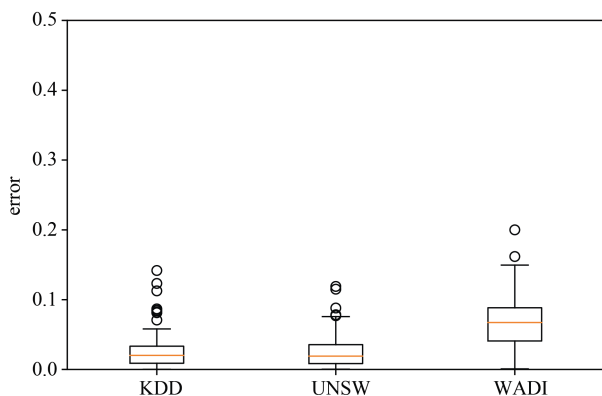


图 10 类先验概率误差箱线图

Figure 10 Boxplot of class prior estimation error

在 PU 学习中, 类先验概率是重要的先验知识, 其估计的误差将直接影响训练的模型的性能, 通过实验进一步探讨类先验概率估计误差对模型性能的影响。实验中设置无标签数据集真实类先验概率为 0.4, 在 $[0, 1]$ 区间中以 0.05 为间距取不同的值作为类先验概率的估计值进行实验, 结果如图 11 所示。图 11 是在 UNSW-NB15 数据集下, 设置正例标签样本数为 10000, 无标签数据集中的反例样本数为 20000 的实验结果。其中横坐标为估计的类先验概率, 纵

标为 F1-score。可以看到, 当估计的类先验概率为 0.4 时, F1-score 达到最大值, 此时模型的性能是最好的, 并且随着估计的类先验概率和真实类先验概率误差的增大, F1-score 开始下降, 当估计值为 0 时所有无标签样本被划分为反例, 当估计值为 1 时, 所有无标签样本被划分为正例。从 F1-score 分析, 估计的类先验概率误差应当小于 0.05 可以保证模型具有较好的分类性能。

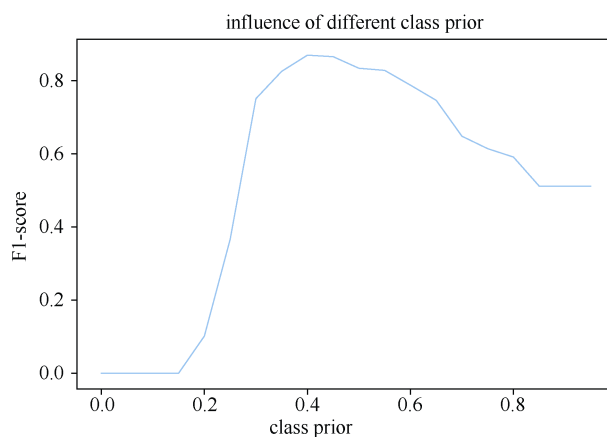


图 11 不同类先验概率估计值对 F1-score 的影响

Figure 11 Influence of different estimated class prior to F1-score

图 12 显示, 在固定正例样本数为 1000 时, OCSVM-cE 算法和 TlcE 算法所需的时间与无标签样本数成正相关。考虑到 OCSVM-cE 中, 训练 OCSVM 模型仅需要使用到正例样本, 因此可以认为 OCSVM-cE 算法更加贴合入侵检测应用场景, 其过程中训练的 OCSVM 模型是可以复用的, 在对新无标签数据集进行类先验概率估计时, 可以直接加载模型, 来划分可信赖的正例子集。

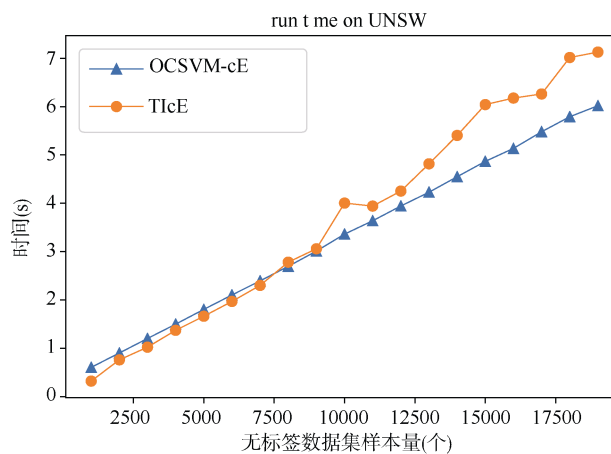


图 12 UNSW-NB15 数据集不同样本量估计时间

Figure 12 Estimation time of UNSW_NB15 with different sample size

(3) PU 学习性能分析

对比的二分类模型的神经网络设置: DNN 的设置与 PU 学习所用的 DNN 网络模型一样, 模型中包含三个隐含层, 第一层的神经元数量为 256, 第二层神经元数量为 64, 第三层神经元数量为 16, 但是在训练的过程中使用具有真实标签的正例和反例样本进行训练; CNN 的网络结构使用和文献[46]相同的 LeNet-5 结构, 输入为 32×32 的图像, 第一层使用 5×5 的卷积, 通过第一层后得到 6 个大小为 28×28 的特征图, 并通过 2×2 的最大池化采样, 变化成 14×14 大小, 第二个卷积层使用 5×5 的卷积, 输出 16 个大小为 10×10 的特征图, 然后通过 2×2 的最大池化采样, 变化成 5×5 , 最后将所有图像铺平输入到一个全连接层中, 第一层神经元数量为 120, 第二层神经元数量为 84, 最后按照分类的类别, 通过 softmax 函数进行输出; RNN^[47]中设置隐藏层节点数为 80。

实验中设置正例标签样本数为 10000, 无标签数据集中的反例样本数为 2000, 类先验概率为 0.9, 学习率为 0.01, 迭代次数为 50。

表 6 为 PU 学习与二分类模型对比结果, 表中的对比实验可以分为两类: 同网络结构(DNN/CNN)下 PU 学习和二分类性能对比, PU 学习和目前性能较好的二分类模型的对比。从实验结果来看, 同网络结构下 PU 学习的性能与二分类模型在查准率上近似, 但是召回率存在一定的差距, 根据前文的分析, 工控入侵检测对于模型的查准率要求更高, 期望做到“宁可漏报也不误报”, 因此 PU 学习是适用于工控入侵检测的, 同时相较于目前先进的 CNN-BiLSTM 等模型, 在查准率上依旧可以维持较小的差距。同时 PU 学习对比二分类模型, 降低了训练数据的要求, 只需要一类标签数据, 这可以有效的减少数据采集工作, 同时仅通过正例数据和无标签数据进行训练, 使得模型可以挖掘出未知类型的入侵。

表 6 PU 学习与二分类模型对比结果

Table 6 Comparison result of PU learning with binary classification

数据集	模型	Precision	Recall	AUC
NSL-KDD	nnPU-DNN	0.9972	0.8689	0.9801
	nnPU-CNN	0.9915	0.8888	0.9694
	DNN	0.9982	0.9491	0.9974
	RNN	0.9986	0.9433	0.9981
	CNN	0.9986	0.9228	0.9979
	CNN-BiLSTM	0.9990	0.9435	0.9979
UNSW-NB15	nnPU-DNN	0.9973	0.6893	0.9171
	nnPU-CNN	0.9948	0.6751	0.9145
	DNN	0.9964	0.7997	0.9819
	RNN	0.9981	0.7236	0.9791
	CNN	0.9979	0.7456	0.9798
	CNN-BiLSTM	0.9983	0.7791	0.9822
WADI	nnPU-DNN	0.9772	0.8921	0.9861
	nnPU-CNN	0.9008	0.9271	0.9811
	DNN	0.9718	0.9705	0.9993
	RNN	0.9847	0.9937	0.9991
	CNN	0.9801	0.9575	0.9993
	CNN-BiLSTM	0.9875	0.9773	0.9995

表 6 中实验对比了 PU 学习和二分类模型的性能, 接下来将对 PU 学习和异常检测模型, 分析同样在仅有一类标签数据的条件下, 二者性能差异。从表 1 中列举的研究分析, 目前用于入侵检测的异常检测模型主要为 AE 和 OCSVM, 其中 AE 是无监督模型, AE 包含两个部分: Encoder(编码器)和 Decoder(解码

器)。Encoder 的作用是用来发现给定数据的压缩表示, Decoder 是用来重建原始输入, 通过计算重建输入和原始输入的误差进行异常检测, 表 1 中文献[13]、文献[20]和文献[25]在使用 AE 模型上大同小异, 因此本文选择采用文献[13]提出的模型^①进行对比实验; 同时, 纵观 OCSVM 进行入侵检测的研究, 其主要工

① 源码下载地址: <https://github.com/Battlingboy/AE-IDS>

作集中在特征工程上, 本实验中基于 PU 学习的特征重要度量进行特征选择, 结合 OCSVM 进行异常检测。参数设置上, OCSVM 设置误差上界为 0.1, AE 的参数采用源码中的默认设置。

表 7 为 PU 学习与异常检测模型的对比结果, 表中的指标显示, 特别地, 可以观察到 OCSVM 和 AE 在 WADI 数据集上模型的性能较差, 造成这种情况

是因为测试数据不平衡, 测试数据集中正例数据与反例数据的比约为 16 : 1, 这也说明了 OCSVM 和 AE 算法在处理不平衡数据时存在不足, 而 PU 学习通过 focal loss 提升了模型在不平衡数据下的性能, 因此 PU 学习在查准率和召回率上都有明显提升, 在三个数据集上, PU 学习在查准率上均表现明显优于 AE 和 OCSVM。

表 7 PU 学习与异常检测模型对比结果

Table 7 Comparison result of PU learning with anomaly detection

数据集	模型	Precision	Recall	AUC
NSL-KDD	nnPU-DNN	0.9972	0.8689	0.9801
	nnPU-CNN	0.9915	0.8888	0.9694
	OCSVM	0.9098	0.9120	--
	AE-IDS	0.5743	0.7089	0.5752
UNSW-NB15	nnPU-DNN	0.9973	0.6893	0.9171
	nnPU-CNN	0.9948	0.6751	0.9145
	OCSVM	0.8487	0.2852	--
	AE-IDS	0.7326	0.5028	0.5739
WADI	nnPU-DNN	0.9772	0.8921	0.9861
	nnPU-CNN	0.9008	0.9271	0.9811
	OCSVM	0.2469	0.4747	--
	AE-IDS	0.4927	0.1581	0.5742

结合表 6 和表 7 的结果, 不难发现, PU 学习尽管在训练数据上同异常检测算法类似, 仅需要一类标签数据, 但是训练的模型的性能相较于异常检测算法有较大的提升, 特别地在工控场景下以 WADI 数据集为例, 正常数据与异常数据之比高达 16 : 1, PU 学习同样可以维持较高的查准率和查全率, 同一些二分类算法相比, 在查准率上也仅有细微的差距, 结合前文对于工控场景特点, PU 学习是适合于工控场景异常检测的。

综上所述, 本文提出使用 PU 学习进行入侵检测, PU 学习是一种近似于异常检测的算法, 但在训练数据上需要标签正例数据, 且正例数据需要满足 SCAR 条件, 在此基础上 PU 学习可以提供高查准率高召回率的入侵检测, 其查准率和召回率均较无监督的异常检测模型有明显的提升, 特别地, PU 学习在查准率上接近二分类模型。

5 结论

工业控制系统被广泛应用到核电、水利等国家重要基础设施中, 保障工业控制系统安全是十分重要的, 入侵检测系统是作为保障网络安全的重要手段, 也是工业控制系统安全防护的重要组成部分。本

文中, 针对工业控制系统入侵检测, 提出使用 PU 学习进行入侵检测, 以正常流量作为标签数据探测待检测数据中的异常样本; 针对工业控制系统数据维度高、关联性强的特点, 提出一种特征重要度计算方法用于特征选择; 同时改进类先验概率估计算法, 提出 OCSVM-cE 算法用于类先验概率估计, 提高了估计的稳定性和准确率。最后通过实验验证 PU 学习的有效性, 同有监督二分类模型相比, PU 学习的查准率维持在一个较高的水准, 召回率略低; 同异常检测模型对比, PU 学习在准确率和召回率上均有提升。PU 学习尽管其避免了使用反例数据, 但是也对正例数据进行了更严格的限制: 正例样本是完全随机采样的, 即正例样本的分布与无标签数据集中正例样本的分布相同。这也是 PU 学习的不足, 未来的工作可以围绕如何在具有选择偏差的数据集下进行 PU 学习。

致 谢 本文研究受国防基础科研计划(No. JCKY 2019608B001)资助。

参考文献

[1] Tao Y D, Li N, Zeng G S. Review of Industrial Control Systems

- Security[J]. *Computer Engineering and Applications*, 2016, 52(13): 8-18.
- (陶耀东, 李宁, 曾广圣. 工业控制系统安全综述[J]. *计算机工程与应用*, 2016, 52(13): 8-18.)
- [2] Xu Z, Zhou X J, Wang L M, et al. Recent Advances in PLC Attack and Protection Technology[J]. *Journal of Cyber Security*, 2019, 4(3): 48-69.
- (徐震, 周晓军, 王利明, 等. PLC 攻防关键技术研究进展[J]. *信息安全学报*, 2019, 4(3): 48-69.)
- [3] Hockey A. Uncovering the Cyber Security Challenges in Healthcare[J]. *Network Security*, 2020, 2020(4): 18-19.
- [4] Fu Y. Security Situation and Threats Analysis of Industrial Internet in China and Abroad[J]. *Journal of Information Security Research*, 2019, 5(8): 728-733.
- (傅扬. 国内外工业互联网安全态势和风险分析[J]. *信息安全研究*, 2019, 5(8): 728-733.)
- [5] Fang L F, Huang L, Zhao Q, et al. Discussion on Megalopolis Power Grid Safety from the Perspective of Venezuelan Blackout[J]. *Power & Energy*, 2019, 40(6): 674-677.
- (房岭峰, 黄丽, 赵琪, 等. 从委内瑞拉大停电看特大型城市电网安全问题[J]. *电力与能源*, 2019, 40(6): 674-677.)
- [6] Yang A, Sun L M, Wang X S, et al. Intrusion Detection Techniques for Industrial Control Systems[J]. *Journal of Computer Research and Development*, 2016, 53(9): 2039-2054.
- (杨安, 孙利民, 王小山, 等. 工业控制系统入侵检测技术综述[J]. *计算机研究与发展*, 2016, 53(9): 2039-2054.)
- [7] Maglaras L A, Jiang J M. Intrusion Detection in SCADA Systems Using Machine Learning Techniques[C]. *2014 Science and Information Conference*, 2014: 626-631.
- [8] Cheung S, Dutertre B, Fong M, et al. Using Model-Based Intrusion Detection for SCADA Networks [C]. *The SCADA security scientific symposium*, 2007, 46: 1-12.
- [9] Morris T, Vaughn R, Dandass Y. A Retrofit Network Intrusion Detection System for MODBUS RTU and ASCII Industrial Control Systems[C]. *2012 45th Hawaii International Conference on System Sciences*, 2012: 2338-2345.
- [10] Bai L, Yang C. Intrusion Detection System Based on Hormone-Regulated Immune Network Clustering[J]. *Journal of Cyber Security*, 2019, 4(5): 25-32.
- (白琳, 杨超. 基于激素调节免疫网络聚类的入侵检测系统[J]. *信息安全学报*, 2019, 4(5): 25-32.)
- [11] Kiss I, Genge B, Haller P, et al. Data Clustering-Based Anomaly Detection in Industrial Control Systems[C]. *2014 IEEE 10th International Conference on Intelligent Computer Communication and Processing*, 2014: 275-281.
- [12] Liu X Q, Shan C, Ren J D, et al. An Intrusion Detection Method Based on Multi-Dimensional Optimization of Traffic Anomaly Analysis[J]. *Journal of Cyber Security*, 2019, 4(1): 14-26.
- (刘新倩, 单纯, 任家东, 等. 基于流量异常分析多维优化的入侵检测方法[J]. *信息安全学报*, 2019, 4(1): 14-26.)
- [13] Li X K, Chen W, Zhang Q R, et al. Building Auto-Encoder Intrusion Detection System Based on Random Forest Feature Selection[J]. *Computers & Security*, 2020, 95: 101851.
- [14] Li L, Shang W L, Yao J, et al. Overview of One-Class Support Vector Machine in Intrusion Detection of Industrial Control System[J]. *Application Research of Computers*, 2016, 33(1): 7-11.
- (李琳, 尚文利, 姚俊, 等. 单类支持向量机在工业控制系统入侵检测中的应用研究综述[J]. *计算机应用研究*, 2016, 33(1): 7-11.)
- [15] Li L, Shang W L, Yao J, et al. Intrusion Detection Algorithm Based on PCA-OCSVM for Industrial Control Systems[J]. *Computer Engineering and Design*, 2016, 37(11): 2928-2933.
- (李琳, 尚文利, 姚俊, 等. 工控系统 PCA-OCSVM 入侵检测算法[J]. *计算机工程与设计*, 2016, 37(11): 2928-2933.)
- [16] Goh J, Adepu S, Tan M, et al. Anomaly Detection in Cyber Physical Systems Using Recurrent Neural Networks[C]. *2017 IEEE 18th International Symposium on High Assurance Systems Engineering*, 2017: 140-145.
- [17] Yu B B, Wang H Z, Yan B Y. Intrusion Detection of Industrial Control System Based on Long Short Term Memory[J]. *Information and Control*, 2018, 47(1): 54-59.
- (於帮兵, 王华忠, 颜秉勇. 基于长短时记忆网络的工业控制系统入侵检测[J]. *信息与控制*, 2018, 47(1): 54-59.)
- [18] Huda S, Yearwood J, Hassan M M, et al. Securing the Operations in SCADA-IoT Platform Based Industrial Control System Using Ensemble of Deep Belief Networks[J]. *Applied Soft Computing*, 2018, 71: 66-77.
- [19] Kravchik M, Shabtai A. Detecting Cyber Attacks in Industrial Control Systems Using Convolutional Neural Networks[C]. *The 2018 Workshop on Cyber-Physical Systems Security and Privacy*, 2018: 72-83.
- [20] Ahmed A, Krishnan V V G, Foroutan S A, et al. Cyber Physical Security Analytics for Anomalies in Transmission Protection Systems[C]. *IEEE Transactions on Industry Applications*, 2019, 55(6): 6313-6323.
- [21] Shi L Y, Zhu H Q, Liu Y H, et al. Intrusion Detection of Industrial Control System Based on Correlation Information Entropy and CNN-BiLSTM[J]. *Journal of Computer Research and Development*, 2019, 56(11): 2330-2338.
- (石乐义, 朱红强, 刘祎豪, 等. 基于相关信息熵和 CNN-BiLSTM 的工业控制系统入侵检测[J]. *计算机研究与发展*, 2019, 56(11): 2330-2338.)
- [22] Chen W Z, Xu D S, Zhang J, et al. Intrusion Detection Method for Industrial Control System with Optimized Support Vector Machine and K-Means++[J]. *Journal of Computer Applications*, 2019, 39(4): 1155-1161.

- 1089-1094.
(陈万志, 徐东升, 张静, 等. 结合优化支持向量机与 K-means++ 的工控系统入侵检测方法[J]. *计算机应用*, 2019, 39(4): 1089-1094.)
- [23] Anton S D D, Sinha S, Dieter Schotten H. Anomaly-Based Intrusion Detection in Industrial Data with SVM and Random Forests[C]. *2019 International Conference on Software, Telecommunications and Computer Networks*, 2019: 1-6.
- [24] Khan I A, Pi D C, Khan Z U, et al. HML-IDS: A Hybrid-Multilevel Anomaly Prediction Approach for Intrusion Detection in SCADA Systems[J]. *IEEE Access*, 2019, 7: 89507-89521.
- [25] Kravchik M, Shabtai A. Efficient Cyber Attack Detection in Industrial Control Systems Using Lightweight Neural Networks and PCA[EB/OL]. 2019: ArXiv preprint ArXiv:1907.01216.
- [26] Li D, Chen D C, Jin B H, et al. MAD-GAN: Multivariate Anomaly Detection for Time Series Data with Generative Adversarial Networks[M]. *Artificial Neural Networks and Machine Learning – ICANN 2019: Text and Time Series*. Cham: Springer International Publishing, 2019: 703-716.
- [27] Priyanga S P, Krithivasan K, S P, et al. Detection of Cyberattacks in Industrial Control Systems Using Enhanced Principal Component Analysis and Hypergraph-Based Convolution Neural Network (EPCA-HG-CNN)[J]. *IEEE Transactions on Industry Applications*, 2020, 56(4): 4394-4404.
- [28] Zhang R, Chen H W. Intrusion Detection Based on Feature Optimization and SVPSO for Industrial Control System[J]. *Computer Engineering*, 2020, 46(4): 19-25.
(张瑞, 陈红卫. 基于特征优化与 SVPSO 的工控入侵检测[J]. *计算机工程*, 2020, 46(4): 19-25.)
- [29] Zhang X Y, Wang H Z. Improved Gravitational Search Algorithm for Industrial Control System Intrusion Detection[J]. *Computer Engineering and Design*, 2020, 41(1): 33-39.
(张晓宇, 王华忠. 改进引力搜索算法用于工控系统入侵检测[J]. *计算机工程与设计*, 2020, 41(1): 33-39.)
- [30] Zhao G X, Chen Z L, Wei Z H, et al. Intrusion Detection of Industrial Control System Based on Optimized Extreme Learning Machine[J]. *Computer Engineering and Design*, 2020, 41(3): 608-613.
(赵国新, 陈志炼, 魏战红, 等. 基于优化极限学习机的工业控制系统入侵检测[J]. *计算机工程与设计*, 2020, 41(3): 608-613.)
- [31] Ramaswamy H G, Scott C, Tewari A. Mixture Proportion Estimation via Kernel Embedding of Distributions[C]. *International Conference on Machine Learning*, 2016: 2052-2060.
- [32] Scott C. A Rate of Convergence for Mixture Proportion Estimation, with Application to Learning from Noisy Labels[C]. *Artificial Intelligence and Statistics*, 2015: 838-846.
- [33] Plessis M C D, Sugiyama M. Semi-Supervised Learning of Class Balance under Class-Prior Change by Distribution Matching [J]. *Neural Networks*, 2014, 50: 110-119.
- [34] du Plessis M C, Sugiyama M. Class Prior Estimation from Positive and Unlabeled Data[J]. *IEICE Transactions on Information and Systems*, 2014, E97.D(5): 1358-1362.
- [35] Plessis M C, Niu G, Sugiyama M. Class-Prior Estimation for Learning from Positive and Unlabeled Data[J]. *Machine Learning*, 2017, 106(4): 463-492.
- [36] Bekker J, Davis J. Estimating the Class Prior in Positive and Unlabeled Data through Decision Tree Induction[C]. *The 32th AAAI conference on artificial intelligence*, 2018: 2712-2719.
- [37] Plessis M C D, Niu G, Sugiyama M. Analysis of learning from positive and unlabeled data[C]. *Advances in Neural Information Processing Systems*, 2014: 703-711.
- [38] Du Plessis M, Niu G, Sugiyama M. Convex formulation for learning from positive and unlabeled data[C]. *International conference on machine learning*, 2015: 1386-1394.
- [39] Niu G, du Plessis M C, Sakai T, et al. Theoretical comparisons of positive-unlabeled learning against positive-negative learning[C]. *Advances in neural information processing systems*, 2016: 1199-1207.
- [40] Kiryo R, Niu G, Du Plessis M C, et al. Positive-unlabeled learning with non-negative risk estimator[C]. *Advances in neural information processing systems*, 2017: 1675-1685.
- [41] Bekker J, Davis J. Learning from Positive and Unlabeled Data: A Survey[J]. *Machine Learning*, 2020, 109(4): 719-760.
- [42] Ioffe S, Szegedy C. Batch Normalization: Accelerating Deep Network Training by Reducing Internal Covariate Shift[C]. *International Conference on Machine Learning*, 2015: 448-456.
- [43] Tavallaee M, Bagheri E, Lu W, et al. A Detailed Analysis of the KDD CUP 99 Data Set[C]. *2009 IEEE Symposium on Computational Intelligence for Security and Defense Applications*, 2009: 1-6.
- [44] Moustafa N, Slay J. UNSW-NB15: A Comprehensive Data Set for Network Intrusion Detection Systems (UNSW-NB15 Network Data Set)[C]. *2015 Military Communications and Information Systems Conference*, 2015: 1-6.
- [45] Ahmed C M, Palleti V R, Mathur A P. WADI: a water distribution testbed for research in the design of secure cyber physical systems[C]. *The 3rd International Workshop on Cyber-Physical Systems for Smart Water Networks*, 2017: 25-28.
- [46] Lin W H, Lin H C, Wang P, et al. Using Convolutional Neural Networks to Network Intrusion Detection for Cyber Threats[C]. *2018 IEEE International Conference on Applied System Invention*, 2018: 1107-1110.
- [47] Yin C L, Zhu Y F, Fei J L, et al. A Deep Learning Approach for Intrusion Detection Using Recurrent Neural Networks[J]. *IEEE Access*, 2017, 5: 21954-21961.



吕思才 于 2020 年在哈尔滨工业大学(威海)计算机科学与技术专业取得硕士学位。现在哈尔滨工业大学计算机与技术专业攻读博士学位。研究领域为网络安全。研究兴趣包括: 工业控制系统入侵检测, 流量分类。Email: 20B903045@stu.hit.edu.cn



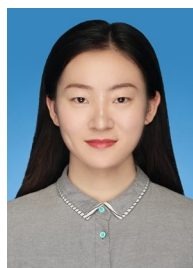
刘红日 于 2008 年在大连理工大学电信学部取得的硕士学位, 现在哈尔滨工业大学计算学部攻读博士学位。研究领域为网络行为模拟。研究兴趣包括: 工业控制系统的流量审计、网络安全互联。E-mail: lhr_5687@163.com



张格 国家工业信息安全发展研究中心检查评估所所长, 国家工业控制系统与产品安全质量监督检验中心副主任, 国家网络安全检查专家委委员, 国家网络安全应急专家组成员, 公安部、工信部等部委, 北京、天津等地网络安全专家。长期从事工业信息安全、网络安全检查评估技术、网络空间安全态势、关键信息基础设施网络安全防护技术、网络空间对抗、数据保护等研究工作。Email: zg18511896495@163.com



王子博 于 2017 年在东北林业大学机电工程学院取得硕士学位, 现在哈尔滨工业大学计算学部攻读博士学位。研究兴趣包括: 工业控制系统安全风险评估。Email: 18746072575@163.com



张耀方 于 2019 年在安徽大学自动化专业获得学士学位。现在哈尔滨工业大学计算机与技术专业攻读硕士学位。研究领域为网络安全。研究兴趣包括: 工业互联网安全检测、安全评估。Email: zhangyao fang1998@163.com



王佰玲 于 2006 年在哈尔滨工业大学计算机科学与技术专业取得博士学位。现为哈尔滨工业大学计算学部教授、博士生导师, 哈尔滨工业大学(威海)计算机科学与技术学院副院长, 研究兴趣包括: 网络安全、信息内容安全、信息对抗、工业互联网安全。E-mail: wbl@hit.edu.cn